



## بررسی تجربی احتراق غیر پیش‌مخلوط با هوای پیش‌گرم و نرخ گردش بالا

احسان الدین عظیمی‌زاده<sup>۱\*</sup>، محمد فرشچی<sup>۲</sup>، فرهاد فتحیه<sup>۳</sup>، علی خصوصی<sup>۴</sup>

دانشکده مهندسی هواپیما، دانشگاه صنعتی شریف

\* eazimizadeh@gmail.com

### چکیده

احتراق بدون شعله به صورت تجربی مورد بررسی گرفت. در این روش احتراق، با پیش‌گرم کردن هوای ورودی و گردش محصولات احتراق در محفظه، منطقه واکنش از یک جبهه محدود، به یک ناحیه وسیع‌تر با دمای اوج کمتر، پخش شده و به این ترتیب اکسید نیتروژن بسیار کمتری تولید می‌شود. پارامترهای قابل کنترل، دمای پیش‌گرم، نسبت تعادل سوخت به اکسیدکننده و دبی هوای سوخت می‌باشد. با اعمال شرایط مشابه، احتراق بدون شعله با احتراق شعله نفوذی مقایسه شده است. پارامترهای قابل اندازه‌گیری، دما و نیز ترکیب آگزوز خروجی از جمله اکسیدهای نیتروژن بوده است. اندازه گیریهای انجام شده نشان میدهد که آلایندگی NOx احتراق بدون شعله بسیار کمتر و در واقع یک مرتبه کوچکتر از آلایندگی احتراق با شعله نفوذی می‌باشد. همچنین، در دمای هوای ورودی کمتر نسبت به فعالیتهای پیشین، احتراق بدون شعله به دست آمد که به نظر می‌رسد دلیل آن، گرم شدن محفظه احتراق و عدم استخراج انرژی از آن و در نتیجه بالا رفتن دمای مخلوط سوخت، هوای و محصولات احتراق باشد. با تصویربرداری از محفظه احتراق با امکان دید به داخل، می‌توان یکنواخت بودن منطقه واکنش پخش شده را مشاهده کرد. از نتایج این پژوهه در طراحی محفظه احتراق موتورهای توربین گازی و همچنین مشعلهای صنعتی، با هدف کاهش تولید اکسیدهای نیتروژن و داشتن پروفیل دمایی یکنواخت استفاده می‌شود.

**واژه‌های کلیدی:** احتراق بدون شعله، کاهش اکسیدهای نیتروژن (NOx)، توربین گازی.

### ۱- مقدمه

پروسه‌های احتراقی پیوسته کاربردهای بسیاری در سیستم‌های پیشانشی، نیروگاهی و گرمایشی دارد. سوخت این پروسه‌ها فسیلی می‌باشد که آلایندگهای مختلفی تولید می‌کنند. توسعه سیستم‌های احتراقی این نوع پروسه‌ها با انتشار آلایندگی کمتر هدف پژوهشگران و سازندگان موتور است. چون این آلایندگهای مخرب محیط زیست هستند و به ویژه پدیده گرم شدن کره زمین را تسریع می‌کنند. عمده‌ترین آلایندگهای احتراقی عبارتند از هیدروکربن‌های نسوخته، دی‌اکسید کربن، منوکسید کربن، دوده، خاکستر یا ذرات معلق، اکسیدهای گوگرد و نیز اکسیدهای نیتروژن یا NOx. در مجموع سه پروسه اصلی تشکیل NOx وجود دارد که عبارتند از NOx فوری (Prompt)، سوختی و حرارتی (Thermal). تولید NOx فوری با جایگزینی هیدروکربن‌ها با دیگر سوخت‌ها و احتراق بسیار فقیر (Lean) یا بسیار غنی (Rich) مرتفع می‌شود. همچنین، وجود باند نیتروژن در ملکول سوخت منجر به تولید NOx سوختی می‌شود که در شرایط غنی سوخت می‌توان از احتمال شکستن این باندها و لذا تولید NOx سوختی جلوگیری کرد. تولید حرارتی NOx که عمده‌ترین دلیل تولید NOx است، وابستگی شدیدی به دما دارد.

- ۱- کارشناس ارشد مهندسی هواپیما، دانشگاه صنعتی شریف
- ۲- استاد، دانشکده مهندسی هواپیما، دانشگاه صنعتی شریف
- ۳- دانشجوی کارشناسی ارشد مهندسی هواپیما، دانشگاه صنعتی شریف
- ۴- دانشجوی کارشناسی ارشد مهندسی هواپیما، دانشگاه صنعتی شریف



انجمن احتراق ایران

## سومین کنفرانس سوخت و احتراق ایران

تهران - دانشگاه صنعتی امیرکبیر - اسفند ماه ۱۳۸۸



دانشگاه صنعتی امیرکبیر  
دانشکده مهندسی هواپیما

FCCI2010-1123

بنابراین کاهش دما، مهم‌ترین راهبرد کنترل تولید حرارتی NO<sub>x</sub> است. دومین هدف، حذف نقاط بسیار داغ جریان است. با افزایش نرخ گردش (Recirculation Ratio)، دمای احتراق کاهش، غلظت اکسیژن در منطقه واکنش (Reaction Zone) و زمان قرارگیری کاهش می‌باید که به این ترتیب تولید حرارتی NO<sub>x</sub> کاهش می‌باید [۱].

در سال‌های اخیر تلاش‌هایی برای کاهش NO<sub>x</sub> شده است که از آن جمله خنک کاری شعله، مرحله‌بندی احتراق، گردش گاز اگزوز و استفاده از بخار آب می‌باشد. اکنون، همه سازندگان به دنبال سیستم‌های احتراقی کم NO<sub>x</sub> یا حتی بسیار کم NO<sub>x</sub> هستند. امروزه، اثر مخرب محصولات احتراقی سوخت‌های فسیلی بر محیط زیست و آب و هوای زمین بر کسی پوشیده نیست. از سویی، کارایی سیستم‌های احتراقی در دماهای کاری بالا بیشتر است و از سوی دیگر در این شرایط تولید آلاینده‌ها بیشتر می‌شود. هدف طراحان، فائق آمدن بر تعارض صرفه‌جویی در انرژی و کاهش NO<sub>x</sub> است. لذا، مفاهیم مختلفی برای فائق آمدن بر این معضل معرفی شده است که از آن جمله مفهوم احتراق پیش‌مخلوط فقیر است که طی بیست سال گذشته، به ویژه در توربین‌های گازی پذیرفته شده است. دلیل این امر، استانداردهای زیستمحیطی است که به این ترتیب انتشار اکسیدهای نیتروژن باید کاهش یابد. احتراق پیش‌مخلوط فقیر، از یک سو، مزیت انتشار کم NO<sub>x</sub> را دارد، ولی از سوی دیگر، نسبت به تغییرات نسبت تعادل (Equivalence Ratio) سوخت به هوای مخلوط ورودی به محفظه احتراق بسیار حساس است. از سوی دیگر، به دلیل پیش‌مخلوط بودن سوخت و هوای ریسک به کارگیری آن در سیستم‌های احتراقی بالاتر است. به همین دلیل، نمی‌توان مواد واکنشگر را پیش‌گرم (Preheat) کرد و به این ترتیب از کارایی سیستم کاسته خواهد شد [۱].

در این مقاله، به دلیل اهمیت و تازگی بحث، در بخش ۲، مروع مختصه احتراق بدون شعله می‌شود. در این بخش، فعالیت‌های تجربی گذشته نیز بررسی می‌شود. در بخش ۳، دستگاه آزمایشگاهی فعالیت حاضر معرفی می‌شود. سپس، در بخش ۴، بررسی نتایج به دست آمده از تست‌های تجربی ارائه می‌گردد.

### ۲- احتراق بدون شعله

شكل جدیدی از احتراق یعنی احتراق بدون شعله یا اکسیداسیون بدون شعله (FLameless OXidation) راه حل بسیار نویدبخشی بر سر دوراهی صرفه‌جویی در مصرف انرژی و کاهش تولید NO<sub>x</sub> است. احتراق بدون شعله نوع خاصی از احتراق است که توسط واکنش اکسیدکننده با دمای پیش‌گرم بسیار بالا با سوخت، اختلاط محصولات احتراق با واکنشگرها و شدت آشفتگی مشخص می‌شود که این امر باعث پخش شدن منطقه واکنش می‌گردد و لذا، شعله به معنای کلاسیک مشاهده نمی‌گردد. به همین دلیل است که این نوع واکنش، اکسیداسیون بدون شعله نامیده می‌شود. توزیع منطقه واکنش باعث حذف نقاط بسیار داغ در جریان می‌شود که در نتیجه از تولید NO<sub>x</sub> به شدت جلوگیری می‌گردد.

در بسیاری از فرآیندهای جلوگیری از تشکیل حرارتی NO<sub>x</sub> سعی در کم کردن اوج دما، کم نگه داشتن زمان قرارگیری در اوج دمایی و جلوگیری از غلظت زیاد اکسیژن در این مناطق است. به همین دلیل، NO<sub>x</sub> حتی در دماهای بالای هوای پیش‌گرم تشکیل نمی‌شود. مشعل‌های صنعتی که پیوسته و با احتراق بدون شعله کار می‌کنند از کیفیت محصولات احتراق بسیار یکنواختی برخوردار خواهد شد.

برای حذف اوج‌های دمایی، هدف، داشتن توزیع همگن دما است. احتراق بدون شعله شامل وسائلی است که با سوخت بسیار فقیر ولی هوای پیش‌گرم شده کار می‌کند. منطقه واکنش در حجم بسیار بزرگتری نسبت به احتراق سنتی رخ می‌دهد. وقتی نرخ واکنش کم باشد، از تولید امواج ترموماکوستیکی جلوگیری می‌شود ولی احتمال رخ دادن خاموشی (Blow-Off) جدی می‌شود. مشکل اخیر با بالا نگه داشتن دمای احتراق مرتفع می‌گردد.

از سوی دیگر، بر خلاف سیستم‌های با شعله که به دلیل وجود گازهای نسوخته و یا خطر انفجار نیاز به نظارت شدید دارند، از مزایای احتراق بدون شعله عدم نیاز به این دو نوع نظارت است. مزیت دیگر آن، عدم احتیاجی به سیستم جرقه‌زنی پیوسته است که این امر به دلیل دمای بالای احتراق می‌باشد. جرقه و نظارت دو عامل خرابی سیستم‌های احتراقی اند که در



احتراق بدون شعله نیازی به آنها نیست. همچنین به دلیل توزیع دما در محفظه احتراق، از تمرکز دمایی و تنفس‌های حرارتی و خستگی سازه جلوگیری می‌شود و دیواره آن از دمای یکنواختی برخوردار خواهد بود.

مفهوم احتراق بدون شعله، نخستین بار توسط وونینگ و وونینگ [۲] در سال ۱۹۹۷ میلادی مطرح شد. آنها، با کنترل دمای پیش‌گرم هوای ورودی به محفظه احتراق، دمای محفظه توسط لوله‌های خنک‌کاری، دبی هوای سوخت و در نتیجه نسبت تعادل سوخت به هوای نیز شدت صوت جریان ورودی به نوع ویژه‌ای از احتراق دست یافتند و آن را احتراق بدون شعله نامیدند. همچنین، با اندازه‌گیری توزیع دمای محفظه، مشاهده کردند که پروفیل دمایی احتراق با شعله و بدون شعله به جز در نزدیکی نازل‌ها با هم هماهنگ می‌باشدند. از سوی دیگر، نتایج اندازه‌گیری شدت صوت مشتعل توسط میکروفون نشان داد، فرکانس صدایی محفظه برای احتراق با شعله نسبت به تحریک افزایش یافته و برای احتراق بدون شعله تقریباً بدون تغییر می‌ماند. بدین ترتیب، در شرایط بهینه، احتراق بدون شعله بدون دیداری یا شنیداری خواهد بود.

پس از احتراق بدون شعله، نامهای دیگری به این فناوری داده شده است که از آن جمله احتراق با هوای دما بالا (High Temperature Air Combustion) توسط کاتسوکی و هاسه‌گاوا [۳] در سال بعد یعنی ۱۹۹۸ و احتراق آرام یا مایلد (MILD: Moderate and Intense Low-oxygen Dilution) توسط دهیوانون و همکارانش [۴] در سال ۲۰۰۰ بوده است.

کاتسوکی و هاسه‌گاوا [۳]، با کنترل دمای پیش‌گرم هوای ورودی، نسبت هوای اضافی (Excess Air) و مکان انژکتور سوخت مشاهده کردند که شرایط پایداری شعله نفوذی به گونه‌ای است که اگر میزان اکسیژن کم شود، دمای گازهای ورودی به محفظه احتراق باید افزایش یابد. به بیان دیگر هوای رقیق شده تا  $3\%$  حجمی اکسیژن هم، اگر تا  $K = 1200$  پیش‌گرم شود، می‌تواند مشتعل و محترق شود. همچنین، میزان  $NO_x$  کم یک‌رقمی در میلیون و پروفیل یکنواخت دمای محفظه را مشاهده و اندازه‌گیری کردند.

پلسینگ و همکارانش [۵] نیز محفظه احتراقی ساختند که توانایی تعویض نوع احتراق، از شعله کلاسیک به بدون شعله را داشت. پیش‌گرم کردن هوای ورودی در کار آنها توسط اگزوز بوده است. به این ترتیب، با تغییر رژیم احتراق، تولید  $NO_x$  بسیار کمتری مشاهده کردند.

دهیوانون و همکارانش [۶] نیز با مشاهده احتراق آرام پیشنهاد کردند که این نوع احتراق، به دلیل توزیع دمای یکنواخت و مناسب، در صنایع فولادسازی به ویژه ذوب‌آهن، آهنگری و عملیات حرارتی مورد استفاده قرار گیرد.

فلامه [۶] با توسعه فعالیت وونینگ و وونینگ [۲] فرض شرایط اتمسفری و کنترل دمای پیش‌گرم هوای ورودی، دمای محفظه احتراق توسط لوله‌های خنک‌کاری و نیز دو نوع مشتعل،  $NO_x$  یک‌رقمی در میلیون را مشاهده کرد که البته میزان  $NO_x$  با افزایش دمای محفظه افزایش یافت. همچنین، وی وجود اوج‌های دمایی برای احتراق با شعله و توزیع یکنواخت دمای محفظه را برای احتراق بدون شعله اندازه‌گیری نمود.

اوژدمیر و پترز [۷] با ادامه فعالیت پلسینگ و همکارانش [۵] پی برندند که با افزایش نسبت تعادل، نسبت به احتراق پیش‌مخلوط، احتراق بدون شعله پایین‌دست‌تر اتفاق می‌افتد.

هاسه‌گاوا و همکارانش [۸] با توسعه فعالیت کاتسوکی و هاسه‌گاوا [۳] تصاویری از رژیم‌های مختلف احتراق از جمله احتراق بدون شعله نشان دادند. آنها این تصاویر را در نمودار نسبت مولی اکسیژن، که معیاری از نرخ گردش است، به دمای احتراق رسم کردند. به این ترتیب، درک بهتری از شکل رژیم جدید احتراق بدون شعله در حالت مقایسه با احتراق‌های سنتی ارائه کردند.

دالی و همکارانش [۹] با توسعه فعالیت اوژدمیر و پترز [۷]،  $NO_x$  به نسبت کمی برای احتراق بدون شعله اندازه‌گیری کردند. آنها همچنین، با اندازه‌گیری دمای احتراق، اختلاف کمی میان این دما و دمای هوای ورودی گزارش کردند.



لوكرات و همكارانش [۱۰] در فشار بالا، دما و منطقه واكنش يكناختي مشاهده كردند. آنها كشف كردنده كه سرعت جت پيش مخلوط هم برای انتشار آلاينده و هم برای محدوده کاري مفيد است و نيز در رژيم احتراق بدون شعله انتشار NOx با فشار افزایش چندانی نمي يابد.

لى و همكارانش [۱۱] طراحى مشابه برای اثر افت فشار و دمای پيش گرم هوا را بر انتشار، پايدارى و رژيم احتراق بررسى كردند. آنها با كنترل دي سوخت و هوا و در نتيجه نسبت تعادل سوخت به هوا و نيز دمای پيش گرم و مشخصات محفظه احتراق، آلاينده های هيدروكربين های نسوخته، منوكسيد كربن و NOx، دما در طول محفظه و دمای اگزوز و فشار آکوستيكي، نشان دادند كه اگر اين محفظه چسبide به انژكتورهای سوخت و هوا نباشد منطقه گرداش مرکزی از بين می رود. اوورمن و همكارانش [۱۲] با تغيير دادن دمای ورودی به محفظه احتراق، افت فشار و هندسه محفظه به بررسى تجربى حدود رژيم احتراق بدون شعله پرداختند. بدین منظور، آنها، دي هوا و سوخت و در نتيجه نسبت تعادل سوخت به اكسيدكننده، دمای ورودی به محفظه احتراق و ميزان تحريك آکوستيكي را كنترل و غلظت NOx، دي اكسيد كربن، اكسيزن و منوكسيد كربن، دمای گرداش و ميزان نويز را اندازه گيری كردند. در بررسی آنها، دمای گرداش، NOx و دي اكسيد كربن با افزایش نسبت تعادل، اكسيزن كاهش و منوكسيد كربن ابتدا كاهش و سپس افزایش نشان دادند. از يك سو، دمای گرداش، منوكسيد كربن و NOx با افزایش قطر محفظه كاهش و اكسيزن و دي اكسيد كربن افزایش و از سوی ديگر، منوكسيد كربن و دي اكسيد كربن با افزایش طول محفظه كاهش و NOx و اكسيزن افزایش يافتند. همچنان، با افزایش دمای ورودی، منوكسيد كربن افزایش، NOx كاهش و اكسيزن، دي اكسيد كربن و دمای گرداش تقریبا ثابت ماندند. با تغيير افت فشار نيز، دمای گرداش تغيير محسوسی نگرد.

دوویش و همكارانش [۱۳] نيز با كنترل گرما و دمای پيش گرم و دي سوخت و هوا و در نتيجه نسبت تعادل سوخت به هوا، پaramترهای غلظت و دمای اگزوز را اندازه گيری كردند. آنها به اين ترتيب پي بردنده كه در رژيم احتراق بدون شعله می توان توزيع دمایي يكناخته و ميزان غلظت آلايندگی كمتر نسبت به احتراق کلاسيك به دست آورد.

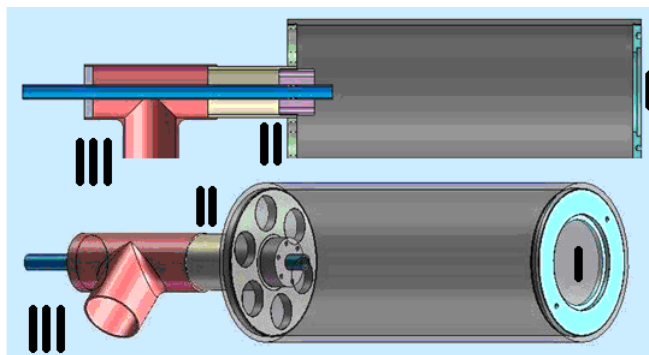
### ۳- دستگاه آزمایشگاهی

با بررسی فعالیتهای پیشین و جمع بندی آنها، به طراحی و ساخت يك محفظه احتراق بدون شعله پرداخته شد. در اين اقدام، سعی شد، از يك سو، كليه پaramترها، از جمله دمای و دي هوا، دي سوخت، نسبت تعادل كلي سوخت به اكسيدكننده، طول، قطر، حجم و نسبت طول به قطر محفظه، منطبق بر فعالیتهای گذشته باشد كه در جدول ۱ شرح آن آمده است.

جدول ۱- مقایسه محدوده پaramترهای طراحی محفظه احتراق بدون شعله فعالیتهای قبلی و حاضر

پaramتر	نسبت تعادل كلي سوخت به اكسيدكننده	قطر يا عرض (mm)	حجم (lit)	طول به قطر (يا عرض)	نمایشگاهی
دي هوا (g/s)	(mm)	(lit)	(mm)	(mm)	حاجت به انتشار
دي سوخت (g/s)	(mm)	(mm)	(mm)	(mm)	حاجت به انتشار
طول (mm)	(mm)	(mm)	(mm)	(mm)	حاجت به انتشار
قطر يا عرض (mm)	(mm)	(mm)	(mm)	(mm)	حاجت به انتشار
حجم (lit)	(mm)	(mm)	(mm)	(mm)	حاجت به انتشار
طول به قطر (يا عرض)	(mm)	(mm)	(mm)	(mm)	حاجت به انتشار

در مجموع و با در نظر گرفتن محدودیتهای تامین قطعات، سیستم‌های سوخت و هوا رسانی و سیستم‌های اندازه‌گیری، محفظه احتراق بدون شعله طراحی و ساخته شد. این محفظه، باید به گونه‌ای طراحی و ساخته شود که به صورت خودکار نرخ گردش بالایی تولید کند. به این ترتیب محصولات احتراق و واکنشگرها با هم ترکیب شده، احتراق، بدون شعله انجام می‌شود. در شکل زیر شماتیک از دستگاه مورد استفاده در فعالیت حاضر مشاهده می‌شود.



شکل ۱- طرح شماتیک محفظه احتراق بدون شعله فعالیت حاضر

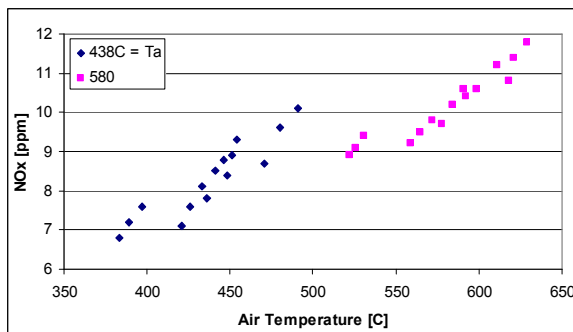
برای پیش‌گرم کردن هوا از یک گرمکن برقی ۳ کیلووات و برای کنترل دمای هواخروجی از آن از ترموموپل تیپ کا (Type K Thermocouple) و ترموموستات آتبین (ATBIN) مدل 1200K استفاده شد. از مشخصات این ترموموستات، قدرت تفکیک  $1^{\circ}\text{C}$  و دقت اندازه‌گیری  $1^{\circ}\text{C}$  می‌باشد. این دما در محل III نشان داده شده در شکل ۱ اندازه‌گیری شد. همچنین، دبی سوخت توسط یک روتامتر روسی ساخت شرکت مسکوا (Moskva) مدل PM-A-I (با دقت ۲.۵٪ مقیاس کل) و دبی هوا توسط نازل صوتی (Sonic Nozzle) اندازه‌گیری و کنترل شد. همچنین، دبی روتامتر و نازل صوتی کالیبره و ضابطه نمودار دبی، به ترتیب، بر حسب ارتفاع شناور روتامتر و فشار سکون نازل صوتی، به دست آمد. برای اندازه‌گیری دما و ترکیب گازهای اگزوژن محفظه احتراق نیز از یک گاز آنالیزور (Gas Analyzer) ساخت شرکت انگلیسی لند اینسٹرument (Land Instrument) مدل LANCOM III استفاده شد. دقت اندازه‌گیری NO<sub>x</sub>، منوکسید کربن، دی‌اکسید کربن و اکسیژن این گاز آنالیزور، به ترتیب، ۲، ۲ و ۱ درصد حجمی می‌باشد. پروب گاز آنالیزور در حالت احتراق بدون شعله در محل II و در حالت احتراق با شعله نفوذی در محل I مشخص شده در شکل ۱ قرار داده شد.

## ۴- نتایج

همان گونه اشاره شد، دمای پیش‌گرم از مهم‌ترین پارامترهای تشکیل‌دهنده احتراق بدون شعله است. لذا، در ۲ دمای میانگین مختلف  $438^{\circ}\text{C}$  و  $580^{\circ}\text{C}$ ، احتراق انجام می‌شود. همچنین، برای مقایسه کیفیت آلایندگی و دیگر پارامترها، احتراق با شعله نفوذی نیز انجام شد. دمای هوا ورودی در حالت احتراق شعله نفوذی دمای  $35^{\circ}\text{C}$  محیط و نیز  $429^{\circ}\text{C}$  می‌باشد که به یک از دمای‌های پیش‌گرم احتراق بدون شعله یعنی  $438^{\circ}\text{C}$  نزدیک است و می‌توان نتایج آنها را با هم مقایسه کرد. با بسته شدن کوارتز به انتهای محفظه و باز کردن ۶ اگزوژن آن، گردش قوى محصولات احتراق پدید می‌آيد و احتراق بدون شعله رخ خواهد داد. با کنترل دبی سوخت و هوا ورودی و در نتیجه نسبت تعادل سوخت به هوا و نیز دمای هوا ورودی، ترکیب و دمای گاز خروجی توسط گاز آنالیزور در دو حالت شعله نفوذی و احتراق بدون شعله اندازه‌گیری شد. به این ترتیب، نتایج زیر به دست آمد.

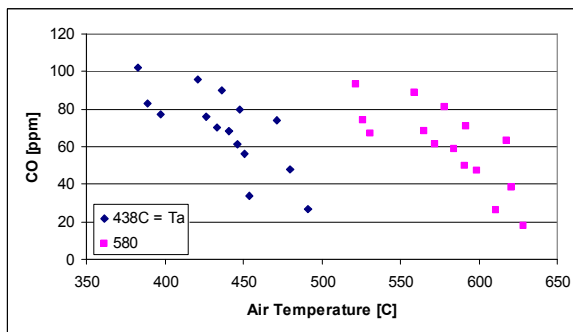
#### ۴-۱- احتراق بدون شعله

در شکل ۲ ملاحظه می‌شود که با افزایش دمای ورودی به محفظه احتراق، غلظت NOx در اگزوز افزایش می‌باید که این امر با تئوری و نیز تجربه قبلی تطابق دارد. همچنین، میزان NOx بسیار کم و تقریباً یک رقمی است که این نتیجه نیز در راستای نتایج فعالیت‌های پیشین می‌باشد.



شکل ۲- نمودار غلظت NOx به دمای هوای ورودی برای احتراق بدون شعله

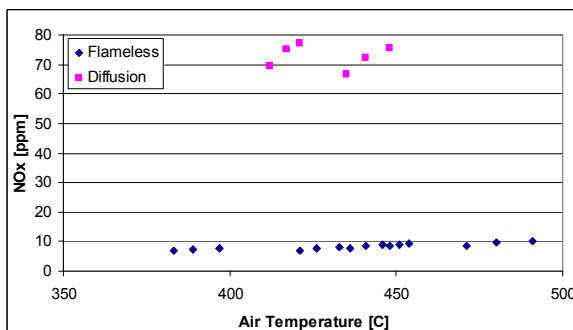
در شکل ۳ نیز مشاهده می‌شود که با افزایش دمای ورودی و بالطبع، افزایش دمای اگزوز، غلظت منوکسید کربن کاهش می‌باید. این کاهش منوکسید کربن، معکوس افزایش NOx در شرایط مشابه است که با تئوری مطابقت دارد.



شکل ۳- نمودار غلظت منوکسید کربن به دمای هوای ورودی برای احتراق بدون شعله

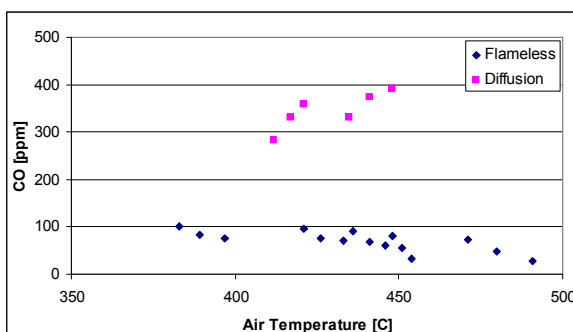
#### ۴-۲- مقایسه احتراق بدون شعله با احتراق با شعله نفوذی

در نمودارهای زیر آلایندگی و دمای اگزوز احتراق بدون شعله و احتراق با شعله نفوذی با هم مقایسه می‌شود. دمای هوای ورودی به محفظه احتراق در دو مورد تقریباً با هم برابر هستند ( $438^{\circ}\text{C}$  برای احتراق بدون شعله و  $429^{\circ}\text{C}$  برای احتراق با شعله). به این ترتیب، این نمودارها، مبنای مناسبی برای مقایسه دو رژیم مختلف احتراق می‌باشند. در شکل ۴، غلظت NOx بر حسب دمای هوای ورودی برای دو نوع احتراق ذکرشده رسم شده است. همان طور که مشاهده می‌شود اختلاف آنها در حدود یک مرتبه بزرگی (Order of Magnitude) می‌باشد. این امر با نتایج تئوریک و نیز فعالیت‌های تجربی پیشین همخوانی دارد.



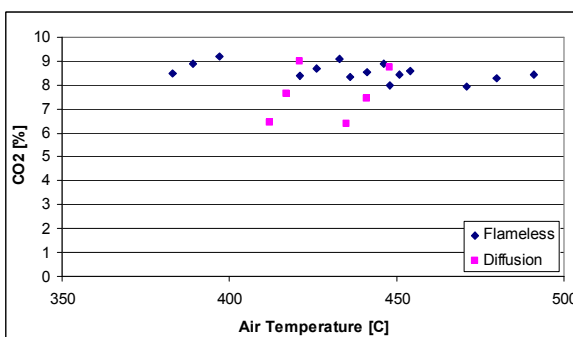
شکل ۴- نمودار غلظت NOx به دمای هوای ورودی برای احتراق با شعله و بدون شعله

منوکسید کربن احتراق بدون شعله از احتراق با شعله نفوذی طبق شکل ۵، کمتر است. این امر، از آنجایی که غلظت NOx دو روش با هم اختلاف شدید دارند، اهمیت بسزایی دارد؛ به این معنی که با آن NOx احتراق بدون شعله بسیار کمتر از شعله نفوذی است، اما CO آن نیز کمتر است. این مساله، مزیت احتراق بدون شعله را در مورد آلایندگی نشان می‌دهد.



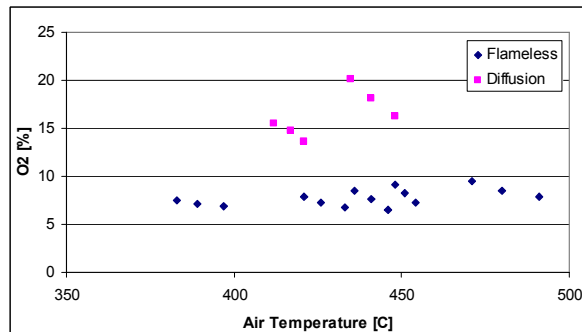
شکل ۵- نمودار غلظت منوکسید کربن به دمای هوای ورودی برای احتراق با شعله و بدون شعله

در شکل ۶ نیز تغییرات دی اکسید کربن به دمای ورودی برای دو روش رسم شده است که غلظت آن برای احتراق بدون شعله اندکی بیشتر از احتراق با شعله نفوذی است. ولی در مجموع از یک مرتبه بزرگی هستند.



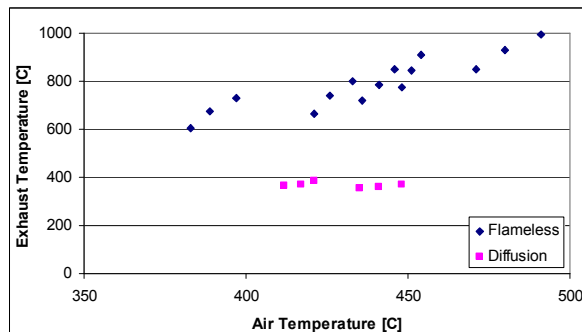
شکل ۶- نمودار غلظت دی اکسید کربن به دمای هوای ورودی برای احتراق با شعله و بدون شعله

غلظت اکسیژن، در دو روش اندکی با هم متفاوت است. در شکل ۷ مشاهده می‌شود که میزان اکسیژن در اگزو احتراق با شعله بیش از دو برابر این میزان در احتراق بدون شعله است. علت آن نرخ گردش بالا و سوزش بیشتر در احتراق بدون شعله است. این امر، یعنی پایین آمدن غلظت اکسیژن، که یکی از اهداف احتراق بدون شعله است تا تولید NOx کاهش یابد.



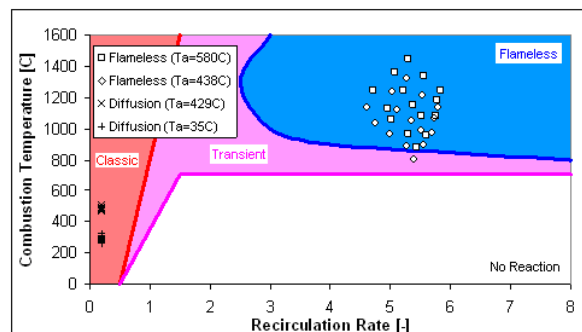
شکل ۷- نمودار غلظت اکسیژن به دمای هوای ورودی برای احتراق با شعله و بدون شعله

همان طور که اشاره شد در احتراق بدون شعله سورش بهتری انجام می‌شود. در شکل ۸ می‌توان با مقایسه دمای اگزوز دو روش، این موضوع را به خوبی ملاحظه کرد. باید اشاره کرد که با این که دمای اگزوز احتراق بدون شعله بیشتر از احتراق با شعله نفوذی است، اما NO<sub>x</sub> آن بسیار کمتر است.



شکل ۸- نمودار دمای اگزوز به دمای هوای ورودی برای احتراق با شعله و بدون شعله

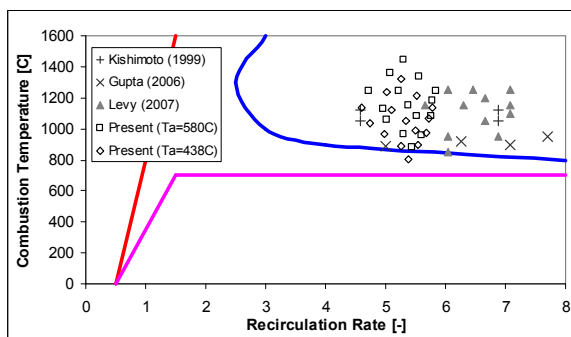
در شکل ۹، نمودار پیشنهاد شده توسط وونینگ و وونینگ [۲] برای رژیم‌های مختلف نشان داده شده است. همان گونه که مشاهده می‌شود، نتایج کاملاً با تعریف ارائه شده همخوانی دارد و آزمایش‌ها در محدوده تعریف شده نتیجه داده‌اند.



شکل ۹- نمودار دمای احتراق به نرخ گردش برای احتراق با شعله و بدون شعله

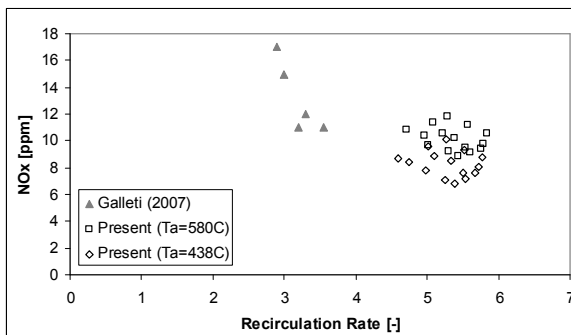
### ۴-۳- مقایسه نتایج با فعالیت‌های گذشته

در شکل ۱۰ نمودار دمای احتراق بر حسب نرخ گردش رسم می‌شود. همان طور که مشاهده می‌شود، فعالیت حاضر در دو دمای پیش‌گرم در محدوده تعريف شده احتراق بدون شعله قرار دارد. همچنین، نتایج فعالیت کیشی‌موتو و هاسه‌گاوا [۱۴]، گوپتا [۱۵] و نیز لهوی و همکارانش [۱۶] در این محدوده مشاهده می‌شود.



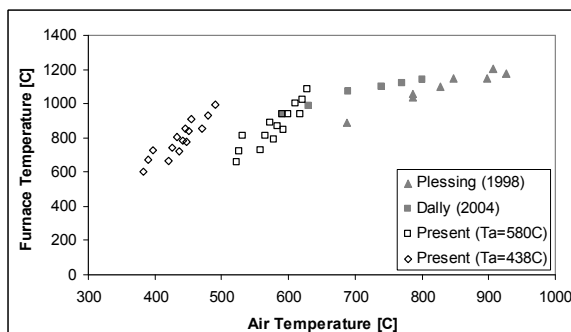
شکل ۱۰- نمودار دمای احتراق به نرخ گردش و مقایسه آن با فعالیت‌های گذشته

غلظت NO<sub>x</sub> بر حسب نرخ گردش با کار گالهتی و همکارانش [۱۷] مقایسه شده است. همان طور که در شکل ۱۱ مشاهده می‌شود، میزان آلایندگی فعالیت اخیر کمتر از فعالیت پیشین [۱۷] بوده است. دلیل این امر، رسیدن به میزان نرخ گردش بیشتر و در نتیجه تولید NO<sub>x</sub> کمتر است.



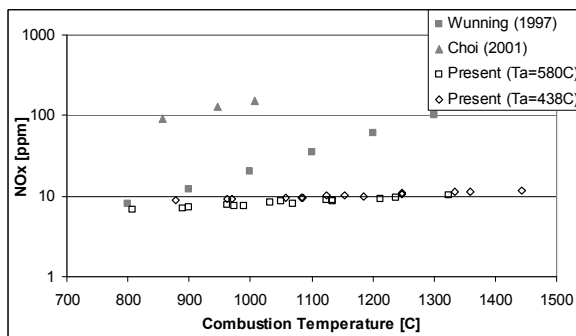
شکل ۱۱- نمودار غلظت NO<sub>x</sub> به نرخ گردش و مقایسه آن با فعالیت‌های گذشته

همچنین، دمای احتراق فعالیت حاضر و کار پلسینگ و همکارانش [۱۵] و نیز دالی و همکارانش [۹] بر حسب دمای پیش‌گرم هوا در شکل ۱۲ رسم شده است. همان گونه که ملاحظه می‌شود، روند همه موارد افزایش دمای احتراق با افزایش دمای هوا پیش‌گرم شده و مشابه یکدیگر است.

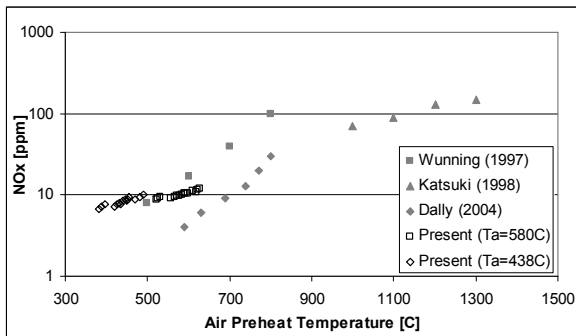


شکل ۱۲- نمودار دمای احتراق به دمای پیش‌گرم هوا و مقایسه آن با فعالیت‌های گذشته

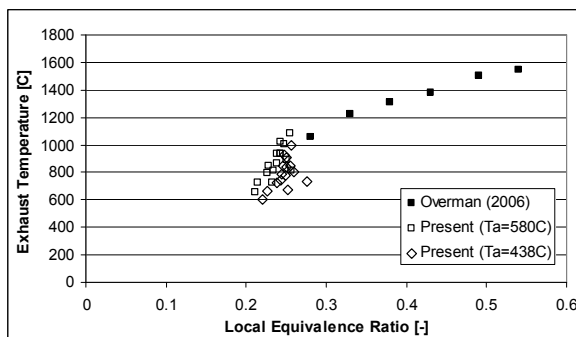
در شکل ۱۳ نیز غلظت NO<sub>x</sub> بر حسب دمای احتراق رسم شده و با فعالیت وونینگ و وونینگ [۲] و نیز چوئی و کاتسوکی [۱۸] مقایسه شده است. ملاحظه می‌شود که در همه نتایج، با افزایش این دما، آلایندگی NO<sub>x</sub> افزایش می‌یابد.

شکل ۱۳- نمودار غلظت NO<sub>x</sub> به دمای احتراق و مقایسه آن با فعالیت‌های گذشته

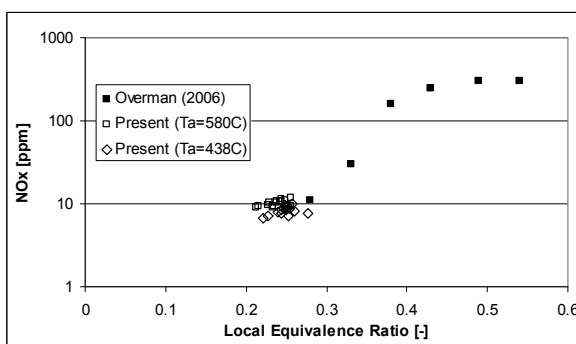
در شکل ۱۴، غلظت NO<sub>x</sub> بر حسب دمای پیش‌گرم هوا ورودی رسم شده و با فعالیت وونینگ و وونینگ [۲]، کاتسوکی و هاسه‌گاوا [۳] و دالی و همکارانش [۹] مقایسه شده است. همان‌گونه که مشاهده می‌شود، در همه نتایج، با افزایش این دما، آلایندگی NO<sub>x</sub> افزایش می‌یابد.

شکل ۱۴- نمودار غلظت NO<sub>x</sub> به دمای پیش‌گرم هوا و مقایسه آن با فعالیت‌های گذشته

در دو شکل ۱۵ و ۱۶، به ترتیب دمای اگزوژ و غلظت NO<sub>x</sub> بر حسب نسبت تعادل محلی، برای فعالیت حاضر و کار اورمن و همکارانش [۱۲] رسم شده است. نسبت تعادل محلی، بر اساس سوخت و مخلوط هوا و محصولات احتراق گردشی تعریف می‌شود. همان‌طور که مشاهده می‌شود با افزایش این نسبت، در هر دو مورد، دمای اگزوژ و غلظت NO<sub>x</sub> افزایش یافته است.



شکل (۴۹-۴): نمودار دمای اگزوز به نسبت تعادل محلی و مقایسه آن با فعالیت‌های گذشته



شکل (۵۰-۴): نمودار غلظت NOx به نسبت تعادل محلی و مقایسه آن با فعالیت‌های گذشته

همان طور از مقایسه نتایج به دست می‌آید، محدوده پارامترهای اندازه‌گیری شده و نیز روند کلی آنها، مشابه فعالیت‌های پیشین است. این امر صحت محفظه احتراق طراحی شده و محدوده پارامترهای کنترل شده را اثبات می‌کند. در مورد دمای دمای هوای ورودی به محفظه احتراق بدون شعله باید گفت که در این فعالیت، محدوده آن نسبت به فعالیت‌های پیشین کمتر است. با این حال، در منابع ذکر شده که دمای پیش‌گرم در احتراق بدون شعله از اهمیت بهسازی برخوردار است. به نظر می‌رسد دلیل وقوع احتراق بدون شعله، بدون رسیدن به دماهای بسیار بالای هوای ورودی، گرم شدن محفظه احتراق و عدم استخراج انرژی از آن و در نتیجه بالا رفتن دمای مخلوط سوخت، هوا و محصولات احتراق می‌باشد. لذا در یک مدل غیرآزمایشگاهی که هدف محفظه احتراق یا مشعل، تولید انرژی است، باید دمای پیش‌گرم هوا به دماهای بالاتر ارتقا یابد تا در شرایط مشابه، احتراق بدون شعله اتفاق بیفتد.

### نتیجه‌گیری

احتراق بدون شعله به صورت تجربی مورد بررسی قرار گرفت. در محفظه‌های احتراق، وجود نقاط با دمای اوج بالا، سبب تولید اکسیدهای نیتروژن و نیز کاهش دمای احتراق منجر به کاهش کارایی آن می‌شود. احتراق بدون شعله، راه حلی برای آلایندگی کمتر و کارایی بیشتر است. در این روش احتراق، با پیش‌گرم کردن هوای ورودی و گردش محصولات احتراق در محفظه، منطقه واکنش از یک جبهه محدود به یک ناحیه وسیع‌تر با دمای اوج کمتر پخش شده و به این ترتیب اکسید نیتروژن بسیار کمتری تولید می‌شود. پارامترهای قابل کنترل، دمای پیش‌گرم، نسبت تعادل سوخت به اکسیدکننده، دبی هوا و سوخت می‌باشد. همچنین، با اعمال شرایط مشابه، احتراق بدون شعله با احتراق شعله نفوذی مقایسه شد. پارامترهای قابل اندازه‌گیری، دمای و نیز ترکیب اگزوز خروجی از جمله اکسیدهای نیتروژن است. آلایندگی NOx احتراق بدون شعله بسیار

کمتر و در واقع یک مرتبه بزرگی، کوچکتر از آلایندگی احتراق با شعله نفوذی به دست آمد. همچنین، در دمای هوای ورودی کمتر نسبت به فعالیتهای پیشین، احتراق بدون شعله به دست آمد که به نظر می‌رسد دلیل آن، گرم شدن محفظه احتراق و عدم استخراج انرژی از آن و در نتیجه بالا رفتن دمای مخلوط سوخت، هوا و محصولات احتراق باشد. با تصویربرداری از محفظه احتراق با امکان دید به داخل نیز، یکنواخت بودن منطقه واکنش پخش شده مشاهده شد. از نتایج این پژوهه در طراحی محفظه احتراق موتورهای توربین گازی با هدف کاهش تولید اکسیدهای نیتروژن و داشتن پروفیل دمایی یکنواخت و همچنین مشعل‌های صنعتی استفاده خواهد شد.

## مراجع

- 1- عظیمی‌زاده، ا، "بررسی تجربی احتراق بدون شعله"، پایان‌نامه کارشناسی ارشد مهندسی هوافضا (آئرودینامیک)، دانشکده مهندسی هوافضا، دانشگاه صنعتی شریف، ۱۳۸۸.
- 2- Turns, S.R., and Mantel, S.J., *An Introduction to Combustion*, 2nd Edition, McGraw Hill, 2000.
- 3- Williams, A., "Experimental investigation of premixed combustion within highly porous media", Proceeding of the ASME/JSME Thermal Engineering Joint Conference, pp. 752-758, 1992.
- 4- Asemi, M.A., Rahimi, M.H., and Fathi, A., "Stochastic modeling of CO and NO in premixed methane combustion", Combustion and Flame, Vol. 113, pp 135-146, 1998.
- 5- Wünnig J.A. and J.G. Wünnig, "Flameless oxidation to reduce thermal NO-formation", Prog. Energy Combust. Sci., Vol. 33, pp. 84-94, 1997.
- 6- Katsuki, M. and T. Hasegawa, "The science and technology of combustion in highly preheated air", Proc. Combust. Instit., Vol. 27, pp 3135-3146, 1998.
- 7- De Joannon, M., G. Langella, F. Beretia, A. Cavaleire, and C. Noviello, "Mild Combustion: Process Features and Technological Constraints", Combust. Sci. and Tech., Vol. 153, pp. 33-50, 2000.
- 8- Plessing, T., N. Peters, and J.G. Wünnig, "Laseroptical investigation of highly preheated combustion with strong exhaust gas recirculation", 27th Symposium (Intl) on Combust., Combust. Instit., pp. 3197-3204, 1998.
- 9- Flamme, M., "Low NOx combustion technologies for high temperature applications", Energy Convers. and Manag., Vol. 42, pp. 1919-1935, 2001.
- 10- Özdemir, I.B. and N. Peters, "Characteristics of the Reaction Zone in a Combustor Operating at Mild Combustion", Experiments in Fluids, Vol. 30, pp. 683-695, 2001.
- 11- Hasegawa, T., S. Mochida, and A. K. Gupta, "Development of Advanced Industrial Furnace Using Highly Preheated Combustion Air", Propulsion and Power, Vol. 18, Issue 2, 2002.
- 12- Dally, B.B., E. Riesmeier, and N. Peters, "Effect of fuel mixture on moderate and intense low oxygen dilution combustion", Combust. and Flame, Vol. 137, pp. 418-431, 2004.
- 13- Lückerath, R., H. Schütz, B. Noll, and M. Aigner, "Experimental Investigations of FLOX Combustion at High Pressure", Proceedings of Flameless Workshop, Lund, 2005.
- 14- Li, G., E.J. Gutmark, D. Stankovic, N. Overman, M. Cornwell, L. Fuchs, and V. Milosavljevic, "Experimental study of flameless combustion in gas turbine combustors", AIAA paper 2006-546, 2006.
- 15- Overman, N., M. Cornwell, and E.J. Gutmark, "Application of Flameless Combustion in Gas Turbine Engines", AIAA paper 2006-4920, 2006.
- 16- Duwig, C., D. Stankovic, L. Fuchs, G. Li, and E. Gutmark, "Experimental and Numerical Study of Flameless Combustion in a Model Gas Turbine Combustor", Combust. Sci. and Tech., Vol. 180, pp. 279-295, 2008.



انجمن احتراق ایران

FCCCI2010-1123

## سومین کنفرانس سوخت و احتراق ایران

تهران - دانشگاه صنعتی امیرکبیر - اسفند ماه ۱۳۸۸



دانشگاه صنعتی امیرکبیر

دانشکده مهندسی هوافضا

- 17- Kishimoto, K., "Effective Phenomena for Using Highly Preheated Air Combustion in Practical Combustors", AIAA paper 99-0726, 1999.
- 18- Gupta, A.K., "Developments in High Temperature Air Combustion (Flameless Oxidation) and Fuel Reforming", AIAA paper 2006-1498, 2006.
- 19- Levy, Y., V. Sherbaum, and P. Arfi, "Basic thermodynamics of FLOXCOM, the low-NOx gas turbines adiabatic combustor", Appl Thermal Eng., Vol. 17, pp. 1593–1605, 2004.
- 20- Galletti, C., A. Parente, L. Tognotti, "Numerical and experimental investigation of a mild combustion burner", Combust. and Flame, Vol. 151, pp. 649–664, 2007.
- 21- Choi, G.-M., and M. Katsuki, "Advanced low NO<sub>x</sub> combustion using highly preheated air", Energy Conversion and Management, Vol. 42, pp. 639-652, 2001.

### **Experimental study of a non-premixed combustion with preheated air and high recirculation**